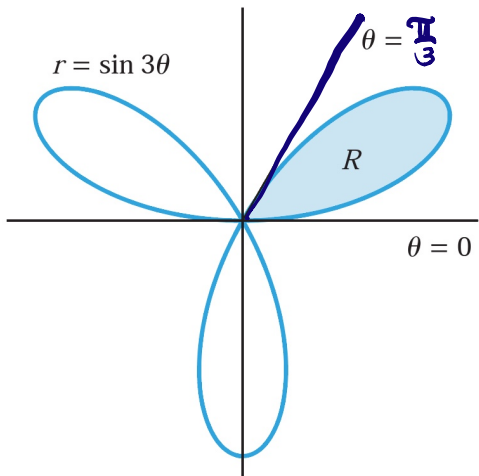


!ກົນການ! ຕັ້ງຢູ່ - ປິຈຳລັບຮັບອຸປະກອດໃນຮັບພື້ນ

► **Example 3** Use a polar double integral to find the area enclosed by the three-petaled rose $r = \sin 3\theta$.



$$\text{ຈົດຕະໂຫຼນ}, \quad r_1 = 0 \quad [\text{ນຶ່ງ}]$$

$$r_2 = \sin 3\theta \quad [\text{ມັນນ}]$$

$$\theta_1 = 0 \Rightarrow \theta_2 = ?$$

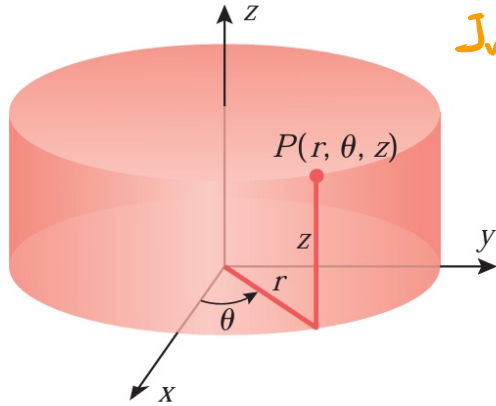
$$r = 0 \Rightarrow \sin 3\theta = 0$$

$$3\theta = 0, \pi, 2\pi, 3\pi$$

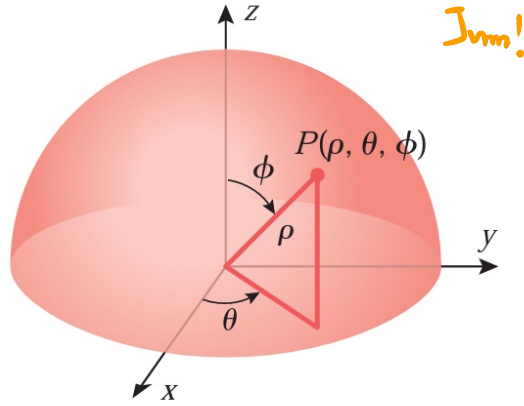
$$\theta = 0, \frac{\pi}{3}, \frac{2\pi}{3}, \pi$$

$$R = \iint_R 1 dA = 3 \int_{\theta=0}^{\theta=\pi/3} \int_{r=0}^{r=\sin 3\theta} r dr d\theta$$

ຕົວຢ່າງ - ສະຫງົບໃນນິກດານງານອອກໄລ້ເນີນດາທົນກລະນ



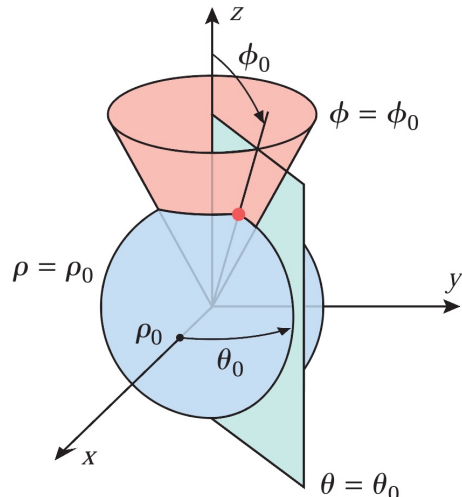
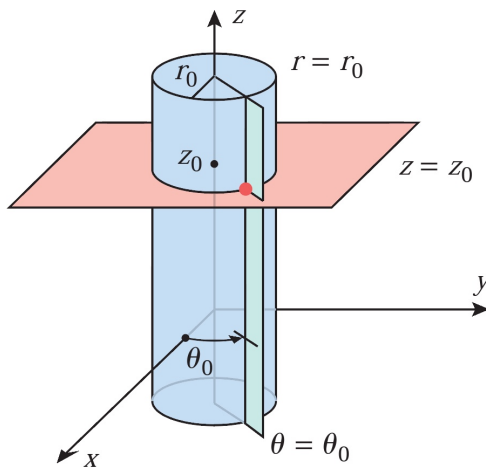
Jumm!



Jumm!

Cylindrical coordinates
 (r, θ, z)
 $(r \geq 0, 0 \leq \theta < 2\pi)$

Spherical coordinates
 (ρ, θ, ϕ)
 $(\rho \geq 0, 0 \leq \theta < 2\pi, 0 \leq \phi \leq \pi)$



CONVERSION FORMULAS FOR COORDINATE SYSTEMS

CONVERSION	FORMULAS	RESTRICTIONS
* Cylindrical to rectangular *(x, y, z) → (r, theta, z)	$x = r \cos \theta, \quad y = r \sin \theta, \quad z = z$	
* Rectangular to cylindrical (x, y, z) → (r, theta, z)	$r = \sqrt{x^2 + y^2}, \quad \tan \theta = y/x, \quad z = z$	
Spherical to cylindrical (rho, theta, phi) → (r, theta, z)	$r = \rho \sin \phi, \quad \theta = \theta, \quad z = \rho \cos \phi$	
Cylindrical to spherical (r, theta, z) → (rho, theta, phi)	$\rho = \sqrt{r^2 + z^2}, \quad \theta = \theta, \quad \tan \phi = r/z$	
* Spherical to rectangular (rho, theta, phi) → (x, y, z)	$x = \rho \sin \phi \cos \theta, \quad y = \rho \sin \phi \sin \theta, \quad z = \rho \cos \phi$	
* Rectangular to spherical (x, y, z) → (rho, theta, phi)	$\rho = \sqrt{x^2 + y^2 + z^2}, \quad \tan \theta = y/x, \quad \cos \phi = z/\sqrt{x^2 + y^2 + z^2}$	$r \geq 0, \rho \geq 0$ $0 \leq \theta < 2\pi$ $0 \leq \phi \leq \pi$

Jumm!

2.7 ปริพันธ์สามชั้นในพิกัดทรงกระบอกและพิกัดทรงกลม

(Triple Integrals in Cylindrical and Spherical Coordinates)

ในหัวข้อก่อนได้พบร่วมกับการคำนวณค่าปริพันธ์ในระบบเชิงข้าวทำได้ยากกว่าการคำนวณในระบบพิกัดจาก ทำนองเดียวกัน บางครั้งการคำนวณค่าปริพันธ์ในระบบทรงกระบอกและระบบทรงกลมทำได้ยากกว่าการคำนวณในระบบพิกัดจาก ในหัวข้อนี้จะศึกษาปริพันธ์สามชั้นในระบบพิกัดเหล่านี้

ปริพันธ์สามชั้นในระบบทรงกระบอก ในระบบพิกัดจากปริพันธ์สามชั้นของฟังก์ชันต่อเนื่อง f บนรูปทรง G กำหนดโดย

$$\iiint_G f(x, y, z) dV = \lim_{n \rightarrow +\infty} \sum_{k=1}^n f(x_k^*, y_k^*, z_k^*) \Delta V_k$$

เมื่อ ΔV_k เป็นปริมาตรของทรงสี่เหลี่ยมมุมฉากที่อยู่ภายใน G และ (x_k^*, y_k^*, z_k^*) เป็นจุดภายในทรงสี่เหลี่ยมมุม

จากนี้ (ดูรูปที่ 17.7.1) ปริพันธ์สามชั้นในพิกัดทรงกระบอกและพิกัดทรงกลมจะกำหนดในทำนองเดียวกัน ยกเว้นแต่บริเวณ G ไม่ได้แบ่งเป็นทรงสี่เหลี่ยมมุมฉาก แต่จะแบ่งเป็นบริเวณที่เหมาะสมกับพิกัดเหล่านี้

ในระบบพิกัดทรงกระบอก สมการอย่างง่ายที่สุดจะอยู่ในรูป

$$r = \text{ค่าคงตัว} \quad \theta = \text{ค่าคงตัว} \quad z = \text{ค่าคงตัว}$$

สมการที่หนึ่งจะเป็นทรงกระบอกตั้งจากจุดศูนย์กลางอยู่ที่แกน z สมการที่สองจะเป็นครึ่งรูนาบที่แขวนอยู่กับแกน z สมการที่สามเป็นรูนาบที่แนวราบ พื้นผิวเหล่านี้จะทำให้เกิดรูปทรงที่เรียกว่า ลิ่มทรงกระบอก (cylindrical wedge) พิจารณาให้ชัดเจน ลิ่มทรงกระบอกเป็นรูปทรงที่ล้อมรอบด้วยพื้นผิวทรงรูปแบบ คือ

ทรงกระบอกสองรูป $r = r_1, \quad r = r_2 \quad (r_1 < r_2)$

ครึ่งรูนาบทสองรูป $\theta = \theta_1, \quad \theta = \theta_2 \quad (\theta_1 < \theta_2)$

รูนาบทสองรูป $z = z_1, \quad z = z_2 \quad (z_1 < z_2)$

(ดูรูปที่ 17.7.2) ขนาด $\theta_2 - \theta_1, \quad r_2 - r_1, \quad z_2 - z_1$ เรียกว่า มุขศูนย์กลาง หนา สูง ของลิ่ม

การให้ความหมายของปริพันธ์บน G ของฟังก์ชัน $f(r, \theta, z)$ ในระบบพิกัดทรงกระบอก มีขั้นตอนดังนี้

ขั้นที่ 1 สร้างเครือข่ายสามมิติที่ประกอบด้วยทรงกระบอกตั้งจากศูนย์กลางอยู่ที่แกน z ครึ่งรูนาบทแขวนอยู่กับแกน z รูนาบทระดับ บล็อกที่เกิดจากเครือข่ายนี้จะเป็นลิ่มทรงกระบอก ใช้เครือข่ายแบ่งบริเวณ G ออกเป็นบริเวณ

ย่อย และกำจัดบริเวณย่อยที่ไม่เป็นลับเขตของบริเวณ G ออกจากการพิจารณา จะเหลือแต่ลิ่มทรงกรอบอกที่อยู่ภายใน G (ดูรูปที่ 17.7.3) แทนปริมาตรของลิ่มทรงกรอบอกภายในเหล่านี้ด้วย

$$\Delta V_1, \Delta V_2, \dots, \Delta V_n$$

ขั้นที่ 2 เลือกจุดใด ๆ ในแต่ละลิ่มทรงกรอบอกภายในและแทนด้วย

$$(r_1^*, \theta_1^*, z_1^*), (r_2^*, \theta_2^*, z_2^*), \dots, (r_n^*, \theta_n^*, z_n^*)$$

(ดูรูปที่ 17.7.3)

ขั้นที่ 3 จัดรูปแบบผลบวก

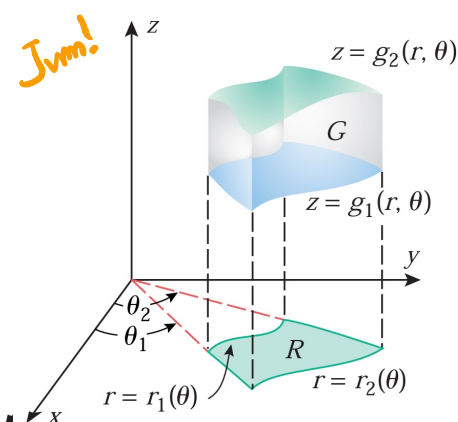
$$\sum_{k=1}^n f(r_k^*, \theta_k^*, z_k^*) \Delta V_k$$

ขั้นที่ 4 ทำกระบวนการนี้ซ้ำอีกหลาย ๆ ครั้งเพื่อเพิ่มจำนวนบริเวณย่อยที่ทำให้สูง หนา และมุมศูนย์กลางของลิ่มทรงกรอบอกมีค่าเข้าใกล้ศูนย์ และ n ซึ่งเป็นจำนวนลิ่มมีค่าเข้าใกล้ $+\infty$ กำหนด

$$\iiint_G f(r, \theta, z) dV = \lim_{n \rightarrow +\infty} \sum_{k=1}^n f(r_k^*, \theta_k^*, z_k^*) \Delta V_k$$

ในหัวข้อ 2.5 ได้ให้ความหมายปริพันธ์สามขั้นบนรูปทรงที่จำกัดก่อน และได้กล่าวถึงวิธีการคำนวณค่าปริพันธ์ สำหรับกรณีนี้ก็เช่นเดียวกัน ทฤษฎีบทต่อไปนี้จะช่วยในการคำนวณค่าปริพันธ์โดยการทำซ้ำ

ทฤษฎีบท 2.7.1 ให้ G เป็นรูปทรงอย่างง่ายซึ่งสมการพื้นผิวน cioè $z = g_2(r, \theta)$ และสมการพื้นผิวล่าง cioè



$z = g_1(r, \theta)$ ในระบบพิกัดทรงกรอบ ถ้า R เป็นภาพฉายของรูปทรงบนระนาบ xy และถ้า $f(r, \theta, z)$ ต่อเนื่องบน G แล้ว

$$\iiint_G f(r, \theta, z) dV = \iint_R \left[\int_{g_1(r, \theta)}^{g_2(r, \theta)} f(r, \theta, z) dz \right] dA$$

โดยที่ปริพันธ์สองขั้นบน R คำนวณในระบบเชิงข้าว โดยเฉพาะถ้าภาพฉาย R เป็นดังรูปที่ 17.7.4 แล้วปริพันธ์ข้างต้นจะเขียนได้ในรูป

$$\iiint_G f(r, \theta, z) dV = \int_{\theta_1}^{\theta_2} \int_{r_1(\theta)}^{r_2(\theta)} \int_{g_1(r, \theta)}^{g_2(r, \theta)} f(r, \theta, z) r dz dr d\theta$$

Jum!

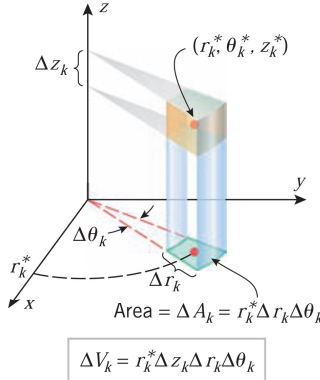
ในที่นี่จะไม่พิสูจน์ทฤษฎีบท 2.7.1 อย่างเป็นทางการ แต่อย่างไรก็ตามตัวประกอบ r ที่อยู่ในตัวถูกหาค่าปริพันธ์สามารถอธิบายได้โดยกลับไปดูนิยาม

$$\iiint_G f(r, \theta, z) dV = \lim_{n \rightarrow +\infty} \sum_{k=1}^n f(r_k^*, \theta_k^*, z_k^*) \Delta V_k$$

ในสูตรนี้ปริมาตร ΔV_k ของลิ่มทรงกรอบสามารถเขียนได้ในรูป

$$\Delta V_k = \text{พื้นที่ฐาน} \times \text{สูง}$$

ถ้าแทน หนา มุ่มศูนย์กลาง และสูงของลิมีด้วย Δr_k , $\Delta\theta_k$ และ Δz_k และถ้าเลือกจุดใด ๆ $(r_k^*, \theta_k^*, z_k^*)$ อยู่ในเนื้อศูนย์กลางของรูป (ดูรูปที่ 17.7.5) แล้ว จากที่พิจารณาแล้วในหัวข้อ 4.3 เกี่ยวกับปริพันธ์สองชั้นใน



ระบบพิกัดเชิงขั้วแล้วว่าพื้นที่ฐานคือ $r_k^* \Delta r_k \Delta \theta_k$ ดังนั้นจะได้ว่า

$$\Delta V_k = r_k^* \Delta r_k \Delta \theta_k \Delta z_k$$

แทนค่า ΔV_k ด้วย $r_k^* \Delta r_k \Delta \theta_k \Delta z_k$ จะได้

$$\iiint_G f(r, \theta, z) dV = \lim_{n \rightarrow \infty} \sum_{k=1}^n f(r_k^*, \theta_k^*, z_k^*) r_k^* \Delta r_k \Delta \theta_k \Delta z_k$$

ซึ่งเป็นการอธิบายรูปแบบของตัวถูกหาค่าปริพันธ์ของสูตรในทฤษฎีบท

สำหรับการนำสูตรไปใช้ ดีที่สุดจะเริ่มด้วยการสอดภาพของ

รูปทรง G ในสามมิติก่อน แล้วจะหาขอบเขตของการหาค่าปริพันธ์ได้ ดังนี้

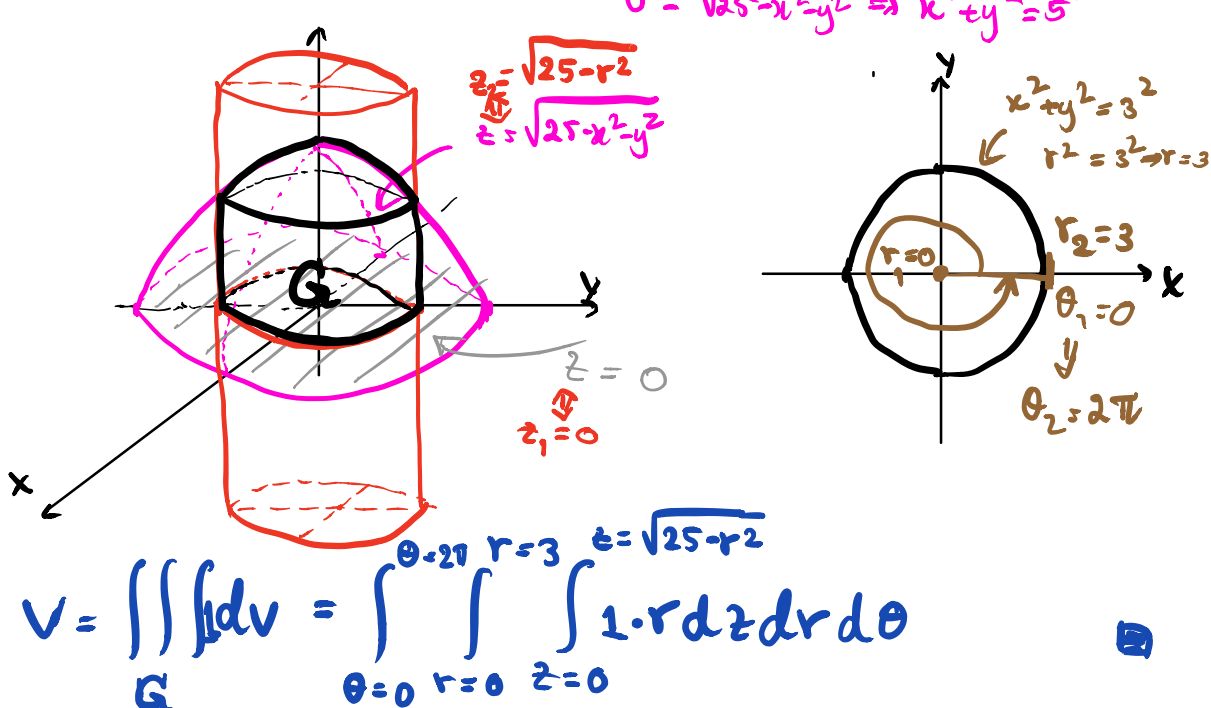
ขั้นที่ 1 จากพื้นผิวนบน $z = g_2(r, \theta)$ และพื้นผิวล่าง $z = g_1(r, \theta)$ ของรูปทรง จะได้ว่าฟังก์ชัน $g_1(r, \theta)$ และ $g_2(r, \theta)$ จะเป็นขอบเขตของ z ในการหาค่าปริพันธ์ (ถ้าพื้นผิวนบนและพื้นผิวล่าง กำหนดในระบบพิกัด ฉะนั้นต้องแปลงเป็นระบบพิกัดทรงกระบอกก่อน)

ขั้นที่ 2 วาดภาพของภพถ่าย R ของรูปทรงในระบบ xy จากภาพว่าด้วยขอบเขตในการหาค่าปริพันธ์ ของ r และ θ ได้เขียนเดียวกับปริพันธ์สองชั้นในระบบพิกัดเชิงขั้ว



ตัวอย่าง 2.7.1 จงใช้ปริพันธ์สามชั้นในระบบพิกัดทรงกระบอกหาปริมาตรและเน้นหรอบด้านของรูปทรง G

ที่มีขอบเขตบนเป็นครึ่งทรงกลม $z = \sqrt{25 - x^2 - y^2}$ มีขอบเขตล่างเป็นระบบ xy และมีขอบเขตด้านข้าง ด้วยทรงกระบอก $x^2 + y^2 = 9$



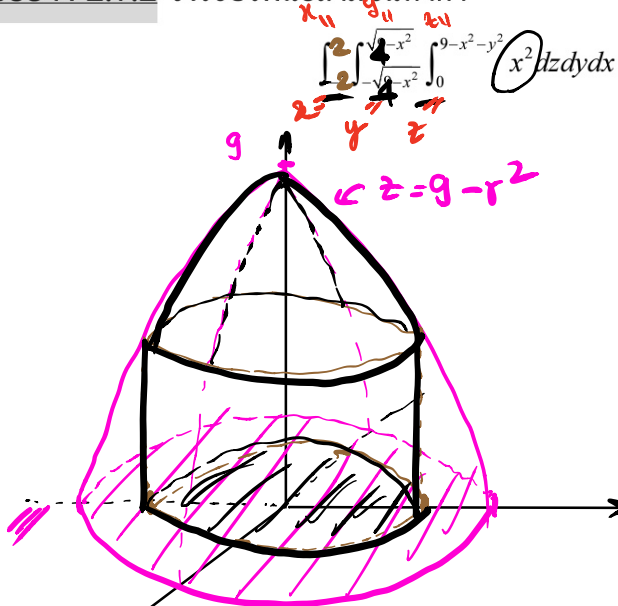
โดยทั่วไป ปริพันธ์สามชั้นจะหาค่าได้ยากในระบบพิกัดจาก แต่จะหาได้ง่ายเมื่อตัวถูกหาค่าปริพันธ์ และขอบเขตการปริพันธ์อยู่ในรูปแบบพิกัดทรงกระบอก โดยเฉพาะอย่างยิ่งเมื่อตัวถูกหาค่าปริพันธ์หรือขอบเขตการหาปริพันธ์อยู่ในรูป

$$x^2 + y^2 \text{ หรือ } \sqrt{x^2 + y^2}$$

เนื่องจากทำให้ง่ายเมื่ออูปในรูป

ในระบบพิกัดทรงกระบอก $\iint_G f(x, y, z) dV = \iiint_{\text{appropriate limits}} f(r \cos \theta, r \sin \theta, z) r dz dr d\theta$

ตัวอย่าง 2.7.2 จงใช้ปริพันธ์สามชั้นหาค่า



boundary

$$z = 9 - x^2 - y^2$$

$$z = 0; \quad 9 = x^2 + y^2$$

$$x=0, y=0; \quad z = 9$$

$$y = \sqrt{9 - x^2}$$

$$y^2 = 9 - x^2$$

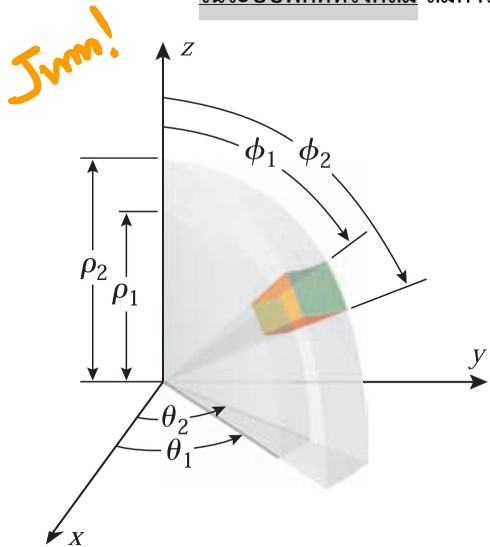
$$x^2 + y^2 = 9 = 2^2$$

ให้ $f(x, y, z) = x^2 \Rightarrow f(r, \theta, z) = r^2 \cos^2 \theta$

$$\iiint_G x^2 dz dy dx = \int_{\theta=0}^{\theta=2\pi} \int_{r=0}^{r=2} \int_{z=0}^{z=9-r^2} r^2 \cos^2 \theta \cdot r dz dr d\theta$$

□

ในระบบพิกัดทรงกลม สมการอย่างง่ายที่สุดจะอยู่ในรูป



$$\rho = \text{ค่าคงตัว} \quad \theta = \text{ค่าคงตัว} \quad \phi = \text{ค่าคงตัว}$$

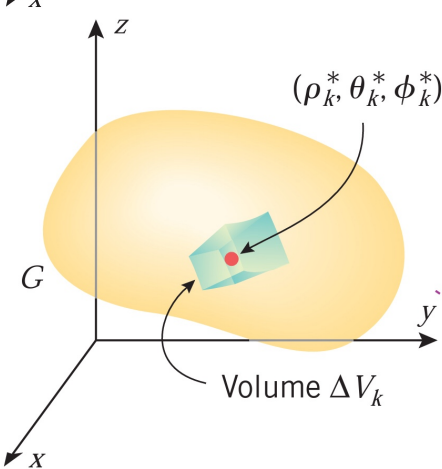
สมการที่หนึ่งจะเป็นทรงกลมจุดศูนย์กลางอยู่ที่จุดกำเนิด สมการที่สองจะเป็นครึ่งรูปทรงที่แขนงอยู่กับแกน z สมการที่สามเป็นรายเชิงวงกลม และแกนสมมาตรไปตามแกน z ลิ่มทรงกลม (spherical wedge) หมายถึงรูปทรงที่ล้อมรอบด้วยพื้นผิวทรงรูปแบบ คือ

$$\text{ทรงกลมสองรูป} \quad \rho = \rho_1, \quad \rho = \rho_2 \quad (\rho_1 < \rho_2)$$

$$\text{ครึ่งรูปทรง} \quad \theta = \theta_1, \quad \theta = \theta_2 \quad (\theta_1 < \theta_2)$$

$$\text{รูปทรง} \quad \phi = \phi_1, \quad \phi = \phi_2 \quad (\phi_1 < \phi_2)$$

(ดูรูปที่ 17.7.8) จะกล่าวว่าจำนวน $\rho_2 - \rho_1, \theta_2 - \theta_1, \phi_2 - \phi_1$ ว่าขนาดของ ลิ่มทรงกลม



ถ้า G เป็นรูปทรงในสามมิติแล้ว ปริพันธ์สามขั้นบน G ของฟังก์ชัน ที่ต่อเนื่อง $f(\rho, \theta, \phi)$ ในระบบพิกัดทรงกลม จะมีความหมายคล้ายกับ ปริพันธ์สามขั้นในระบบพิกัดทรงกระบอก ยกเว้นรูปทรง G มีผลແປງกัน เป็นลิ่มทรงกลมโดยเครือข่ายในสามมิติเป็นทรงกลมจุดศูนย์กลางอยู่ที่จุด กำเนิด ครึ่งรูปทรงที่แขนงอยู่กับแกน z รายเชิงวงกลมตั้งฉากมีจุดยอดอยู่ ที่จุดกำเนิดและเส้นสมมาตรไปตามแกน z (ดูรูปที่ 17.7.9)

กำหนดสมการของปริพันธ์สามขั้นในระบบพิกัดทรงกลมเป็น

$$\iiint_G f(\rho, \theta, \phi) dV = \lim_{n \rightarrow +\infty} \sum_{k=1}^n f(\rho_k^*, \theta_k^*, \phi_k^*) \Delta V_k$$

โดยที่ ΔV_k คือปริมาตรของลิ่มทรงกลมที่ k ที่อยู่ภายใน G , $(\rho_k^*, \theta_k^*, \phi_k^*)$ เป็น จุดใด ๆ ในลิ่มทรงกลมนี้ และ n เพิ่มขึ้นในลักษณะที่ทำให้ขนาดของแต่ละลิ่มทรงกลมที่อยู่ภายใน G เข้า ใกล้ศูนย์

สามารถแสดงได้ว่า

$$\Delta V_k = \rho_k^{*2} \sin \theta_k^* \Delta \rho \Delta \theta \Delta \phi$$

โดยที่ $\Delta \rho, \Delta \theta$ และ $\Delta \phi$ เป็นขนาดของลิ่ม แทนค่า ΔV_k จะได้

$$\iiint_G f(\rho, \theta, \phi) dV = \lim_{n \rightarrow +\infty} \sum_{k=1}^n f(\rho_k^*, \theta_k^*, \phi_k^*) \rho_k^{*2} \sin \theta_k^* \Delta \rho \Delta \theta \Delta \phi$$

ซึ่งเป็นแนวทางในการกำหนดสูตรในการคำนวณค่าปริพันธ์สามขั้นในพิกัดทรงกลมโดยการหาปริพันธ์ ข้อน

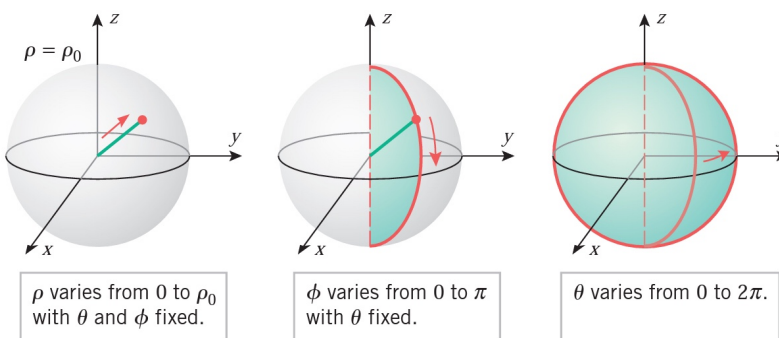
$$\iiint_G f(\rho, \theta, \phi) dV = \iiint_{\text{appropriate limits}} f(\rho, \theta, \phi) \rho^2 \sin \phi d\rho d\phi d\theta$$

Jum!

ข้อสังเกต ตัวประกลบพิเศษ $\rho^2 \sin\phi$ ที่ปรากฏในตัวถูกหาค่าปริพันธ์ของการหาปริพันธ์ซ้อน จะมีที่มา
ทำนองเดียวกับตัวประกลบพิเศษ r ที่ปรากฏในตัวถูกหาค่าปริพันธ์ในระบบพิกัดทรงกระบอก

ในที่นี้จะเว้นการพิจารณาของเขตการหาค่าปริพันธ์ แต่จะยกตัวอย่างซึ่งเป็นการอธิบายถึงการ
หาขอบเขตการหาค่าปริพันธ์และในตัวอย่างพิจารณาอันดับการหาค่าปริพันธ์แบบเดียวกัน คือ เริ่มด้วย
หาเทียบกับ ρ ต่อด้วย ϕ และ θ

สมมุติว่าต้องการหาค่าปริพันธ์ของ $f(\rho, \theta, \phi)$ บนรูปทรงทรงกลม G ล้อมรอบด้วยทรงกลม $\rho = \rho_0$
แนวคิดพื้นฐานในการหาขอบเขตในการหาค่าปริพันธ์ คือ ให้ทุกจุดในรูปทรงถูกนับในกระบวนการหาค่า
ปริพันธ์ ดังรูปที่ 17.7.10 จะแสดงแบบหนึ่งในการหาขอบเขต

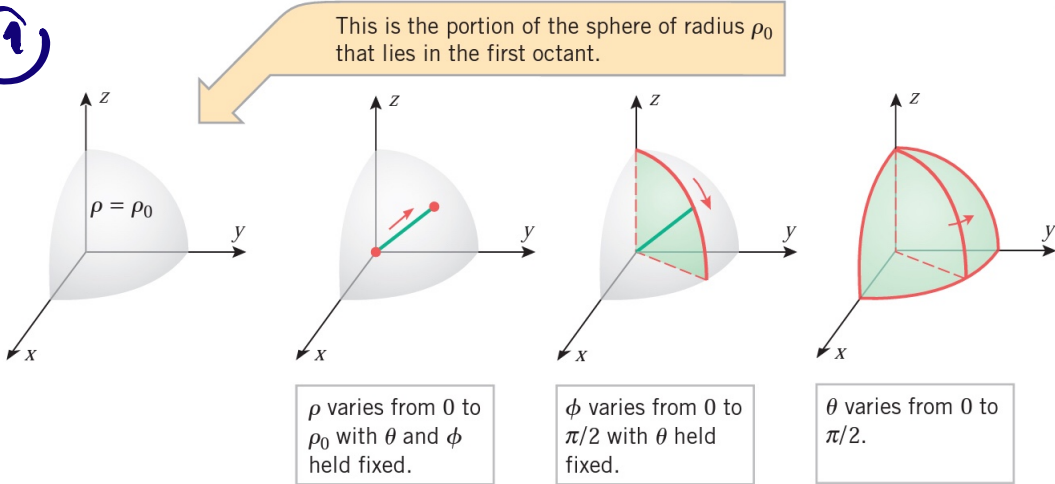


ให้ θ และ ϕ คงที่สำหรับการหาค่าปริพันธ์ครั้งที่ 1 ให้ ρ เปลี่ยนแปลงจาก 0 ไปยัง ρ_0 ซึ่งจะครอบคลุมเส้น
รัศมีจากจุดกำเนิดไปถึงพื้นผิวของทรงกลม ต่อไปให้ θ คงที่และให้ ϕ เปลี่ยนแปลงจาก 0 ถึง π ซึ่งเส้นรัศมี
จะ瓜ดไปเป็นรูปพัด สุดท้ายให้ θ เปลี่ยนแปลงจาก 0 ไปถึง 2π ซึ่งจะทำให้พัดหมุนไปครอบคลุม ดังนั้นจะ
瓜ดไปเป็นบริเวณทั้งหมดของทรงกลม นั่นคือปริพันธ์สามชั้นของ $f(\rho, \theta, \phi)$ บนรูปทรงกลม G
สามารถเขียนแสดงการคำนวณดังนี้

$$\iiint_G f(\rho, \theta, \phi) dV = \int_0^{2\pi} \int_0^\pi \int_0^{\rho_0} f(\rho, \theta, \phi) \rho^2 \sin\phi d\rho d\phi d\theta$$

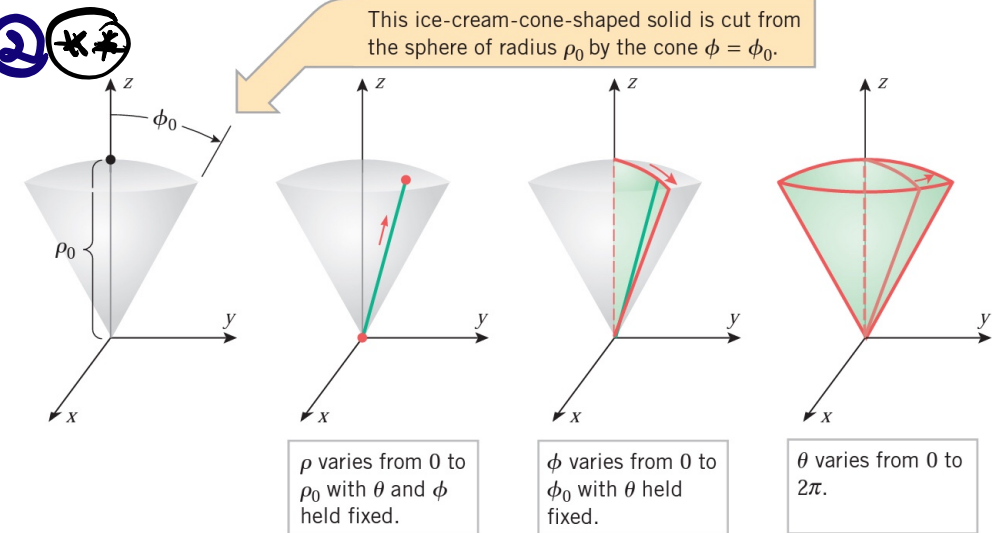
វិភាគរបស់រំលែកស្រីសមូល

①



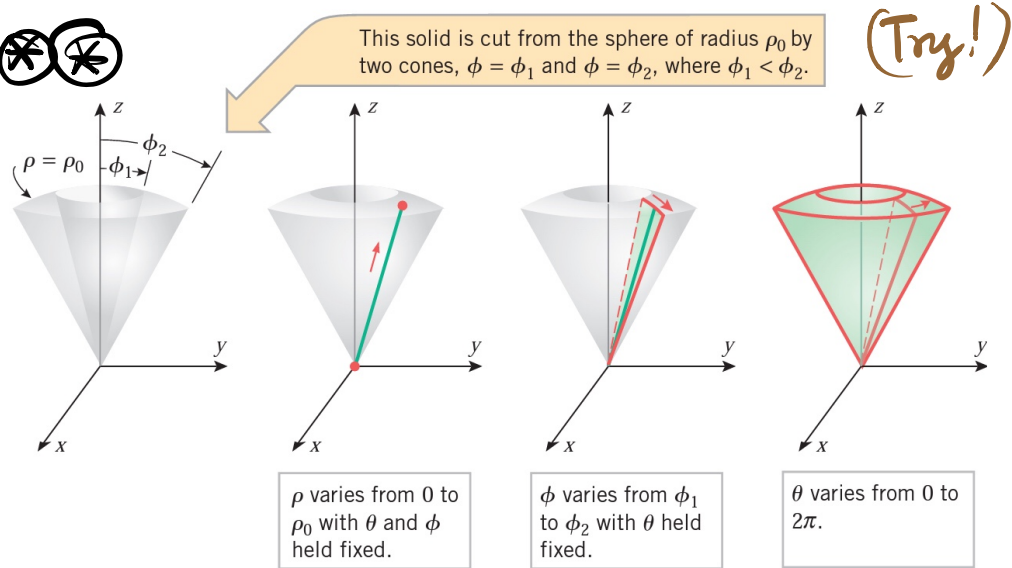
$$\int_{\theta=0}^{\pi/2} \int_{\phi=0}^{\pi/2} \int_{\rho=0}^{\rho_0} f(\rho, \theta, \phi) \rho^2 \sin \phi d\rho d\phi d\theta$$

②

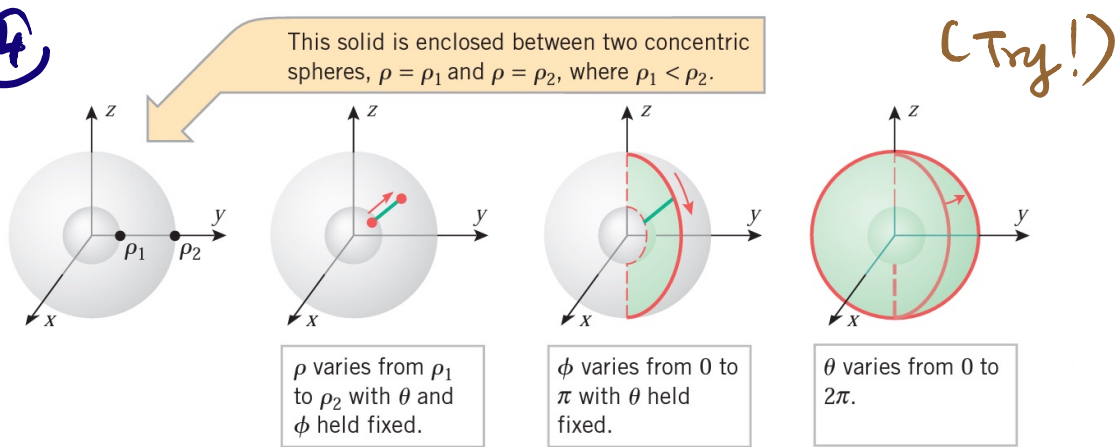


$$\int_{\theta=0}^{2\pi} \int_{\phi=0}^{\phi_0} \int_{\rho=0}^{\rho_0} f(\rho, \theta, \phi) \rho^2 \sin \phi d\rho d\phi d\theta$$

③



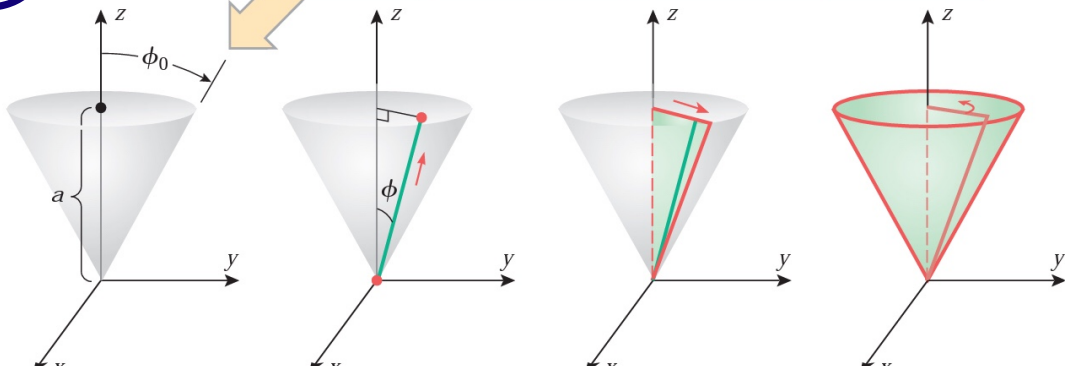
④



(5)

This solid is enclosed laterally by the cone $\phi = \phi_0$, where $0 < \phi_0 < \pi/2$, and on top by the horizontal plane $z = a$.

(Try!)



ρ varies from 0 to $a \sec \phi$ with θ and ϕ held fixed.

ϕ varies from 0 to ϕ_0 with θ held fixed.

θ varies from 0 to 2π .

ตัวอย่าง 2.7.3 จงใช้ระบบพิกัดทรงกลมหาปริมาตรและผิวของรูปทรง G ซึ่งขอบนคือทรงกลม $x^2 + y^2 + z^2 = 16$ และขอบล่างคือกรวย $z = \sqrt{x^2 + y^2}$

You Try It!

ตัวอย่าง 2.7.4 จงใช้ระบบพิกัดทรงกลมหาค่าของ

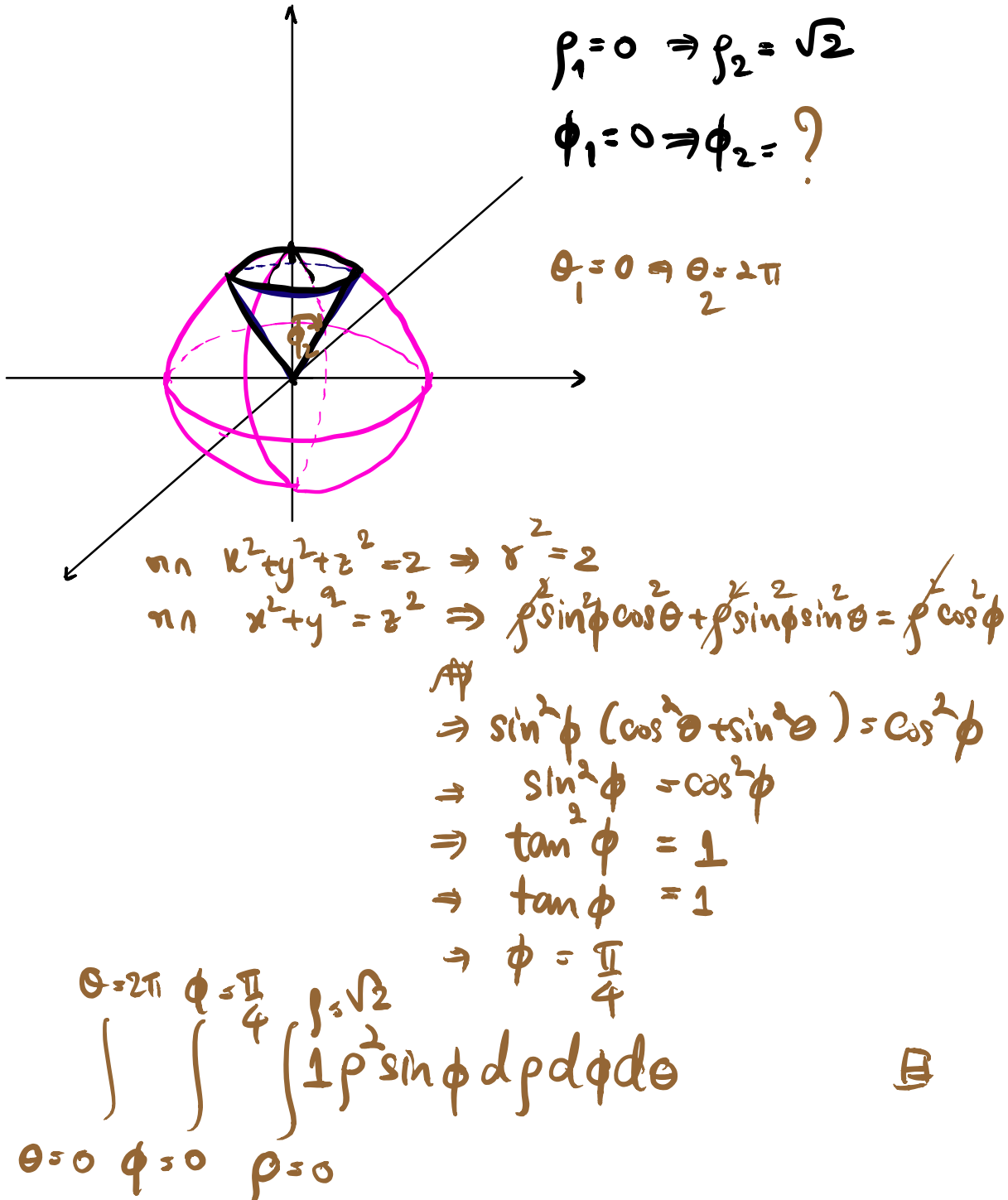
$$\int_{-2}^2 \int_{-\sqrt{4-x^2}}^{\sqrt{4-x^2}} \int_0^{\sqrt{4-x^2-y^2}} z^2 \sqrt{x^2 + y^2 + z^2} dz dy dx$$

You try it !

แปลง ท. น. (x,y,z) \Rightarrow (ρ,θ,φ)

ตัวอย่าง 2.7.7 จงหาปริมาตรที่ล้อมรอบด้วยทรงกลม $x^2 + y^2 + z^2 = 2$ และกรวย $x^2 + y^2 = z^2$

วิธีทำ



QUICK CHECK EXERCISES 14.6

(See page 1058 for answers.)

- ✓ 1. (a) The cylindrical wedge $1 \leq r \leq 3$, $\pi/6 \leq \theta \leq \pi/2$, $0 \leq z \leq 5$ has volume $V = \underline{\hspace{2cm}}$.
 (b) The spherical wedge $1 \leq \rho \leq 3$, $\pi/6 \leq \theta \leq \pi/2$, $0 \leq \phi \leq \pi/3$ has volume $V = \underline{\hspace{2cm}}$.
- ✓ 2. Let G be the solid region inside the sphere of radius 2 centered at the origin and above the plane $z = 1$. In each part, supply the missing integrand and limits of integration for the iterated integral in cylindrical coordinates.

(a) The volume of G is

$$\iiint_G dV = \int_{\square}^{\square} \int_{\square}^{\square} \int_{\square}^{\square} \underline{\hspace{2cm}} dz dr d\theta$$

$$(b) \iiint_G \frac{z}{x^2 + y^2 + z^2} dV = \int_{\square}^{\square} \int_{\square}^{\square} \int_{\square}^{\square} \underline{\hspace{2cm}} dz dr d\theta$$

- ✓ 3. Let G be the solid region described in Quick Check Exercise 2. In each part, supply the missing integrand and limits of integration for the iterated integral in spherical coordinates.
- (a) The volume of G is

$$\iiint_G dV = \int_{\square}^{\square} \int_{\square}^{\square} \int_{\square}^{\square} \underline{\hspace{2cm}} d\rho d\phi d\theta$$

$$(b) \iiint_G \frac{z}{x^2 + y^2 + z^2} dV = \int_{\square}^{\square} \int_{\square}^{\square} \int_{\square}^{\square} \underline{\hspace{2cm}} d\rho d\phi d\theta$$

EXERCISE SET 14.6

C CAS

1–4 Evaluate the iterated integral. ■

- ✓ 1. $\int_0^{2\pi} \int_0^1 \int_0^{\sqrt{1-r^2}} zr dz dr d\theta$
 ✓ 2. $\int_0^{\pi/2} \int_0^{\cos \theta} \int_0^{r^2} r \sin \theta dz dr d\theta$
 ✓ 3. $\int_0^{\pi/2} \int_0^{\pi/2} \int_0^1 \rho^3 \sin \phi \cos \phi d\rho d\phi d\theta$
 ✓ 4. $\int_0^{2\pi} \int_0^{\pi/4} \int_0^{a \sec \phi} \rho^2 \sin \phi d\rho d\phi d\theta \quad (a > 0)$

FOCUS ON CONCEPTS

5. Sketch the region G and identify the function f so that

$$\iiint_G f(r, \theta, z) dV$$

corresponds to the iterated integral in Exercise 1.

6. Sketch the region G and identify the function f so that

$$\iiint_G f(r, \theta, z) dV$$

corresponds to the iterated integral in Exercise 2.

7. Sketch the region G and identify the function f so that

$$\iiint_G f(\rho, \theta, \phi) dV$$

corresponds to the iterated integral in Exercise 3.

8. Sketch the region G and identify the function f so that

$$\iiint_G f(\rho, \theta, \phi) dV$$

corresponds to the iterated integral in Exercise 4.

9–12 Use cylindrical coordinates to find the volume of the solid. ■

- ✓ 9. The solid enclosed by the paraboloid $z = x^2 + y^2$ and the plane $z = 9$.
 ✓ 10. The solid that is bounded above by the sphere $x^2 + y^2 + z^2 = 1$ and below by the cone $z = \sqrt{x^2 + y^2}$.
 ✓ 11. The solid that is inside the surface $r^2 + z^2 = 20$ but not above the surface $z = r^2$.
 ✓ 12. The solid enclosed between the cone $z = (hr)/a$ and the plane $z = h$.

13–16 Use spherical coordinates to find the volume of the solid. ■

- ✓ 13. The solid bounded above by the sphere $\rho = 4$ and below by the cone $\phi = \pi/3$.
 ✓ 14. The solid within the cone $\phi = \pi/4$ and between the spheres $\rho = 1$ and $\rho = 2$.
 ✓ 15. The solid enclosed by the sphere $x^2 + y^2 + z^2 = 4a^2$ and the planes $z = 0$ and $z = a$.
 ✓ 16. The solid within the sphere $x^2 + y^2 + z^2 = 9$, outside the cone $z = \sqrt{x^2 + y^2}$, and above the xy -plane.

17–20 Use cylindrical or spherical coordinates to evaluate the integral. ■

✓ 17. $\int_0^a \int_0^{\sqrt{a^2-x^2}} \int_0^{a^2-x^2-y^2} x^2 dz dy dx \quad (a > 0)$

✓ 18. $\int_{-1}^1 \int_0^{\sqrt{1-x^2}} \int_0^{\sqrt{1-x^2-y^2}} e^{-(x^2+y^2+z^2)^{3/2}} dz dy dx$

✓ 19. $\int_0^2 \int_0^{\sqrt{4-y^2}} \int_{\sqrt{x^2+y^2}}^{\sqrt{8-x^2-y^2}} z^2 dz dx dy$

✓ 20. $\int_{-3}^3 \int_{-\sqrt{9-y^2}}^{\sqrt{9-y^2}} \int_{-\sqrt{9-x^2-y^2}}^{\sqrt{9-x^2-y^2}} \sqrt{x^2+y^2+z^2} dz dx dy$

True-False Determine whether the statement is true or false. Explain your answer. ■

21. A rectangular triple integral can be expressed as an iterated integral in cylindrical coordinates as

$$\iiint_G f(x, y, z) dV = \iiint_{\text{appropriate limits}} f(r \cos \theta, r \sin \theta, z) r^2 dz dr d\theta$$

22. If $0 \leq \rho_1 < \rho_2$, $0 \leq \theta_1 < \theta_2 \leq 2\pi$, and $0 \leq \phi_1 < \phi_2 \leq \pi$, then the volume of the spherical wedge bounded by the spheres $\rho = \rho_1$ and $\rho = \rho_2$, the half-planes $\theta = \theta_1$ and $\theta = \theta_2$, and the cones $\phi = \phi_1$ and $\phi = \phi_2$ is

$$\int_{\theta_1}^{\theta_2} \int_{\phi_1}^{\phi_2} \int_{\rho_1}^{\rho_2} \rho^2 \sin \phi d\rho d\phi d\theta$$

23. Let G be the solid region in 3-space between the spheres of radius 1 and 3 centered at the origin and above the cone $z = \sqrt{x^2 + y^2}$. The volume of G equals

$$\int_0^{\pi/4} \int_0^{2\pi} \int_1^3 \rho^2 \sin \phi d\rho d\theta d\phi$$

24. If G is the solid in Exercise 23 and $f(x, y, z)$ is continuous on G , then

$$\iiint_G f(x, y, z) dV = \int_0^{\pi/4} \int_0^{2\pi} \int_1^3 F(\rho, \theta, \phi) \rho^2 \sin \phi d\rho d\theta d\phi$$

where $F(\rho, \theta, \phi) = f(\rho \sin \phi \sin \theta, \rho \sin \phi \cos \theta, \rho \cos \phi)$.

C 25. (a) Use a CAS to evaluate

$$\int_{-2}^2 \int_1^4 \int_{\pi/6}^{\pi/3} \frac{r \tan^3 \theta}{\sqrt{1+z^2}} d\theta dr dz$$

(b) Find a function $f(x, y, z)$ and sketch a region G in 3-space so that the triple integral in rectangular coordinates

$$\iiint_G f(x, y, z) dV$$

matches the iterated integral in cylindrical coordinates given in part (a).

C 26. Use a CAS to evaluate

$$\int_0^{\pi/2} \int_0^{\pi/4} \int_0^{\cos \theta} \rho^{17} \cos \phi \cos^{19} \theta d\rho d\phi d\theta$$

27. Find the volume enclosed by $x^2 + y^2 + z^2 = a^2$ using

- (a) cylindrical coordinates
- (b) spherical coordinates.

28. Let G be the solid in the first octant bounded by the sphere $x^2 + y^2 + z^2 = 4$ and the coordinate planes. Evaluate

$$\iiint_G xyz dV$$

- (a) using rectangular coordinates
- (b) using cylindrical coordinates
- (c) using spherical coordinates.

29. Find the volume of the solid in the first octant bounded by the sphere $\rho = 2$, the coordinate planes, and the cones $\phi = \pi/6$ and $\phi = \pi/3$.

30. In this exercise we will obtain a formula for the volume of the spherical wedge illustrated in Figures 14.6.7 and 14.6.9.

- (a) Use a triple integral in cylindrical coordinates to show that the volume of the solid bounded above by a sphere $\rho = \rho_0$, below by a cone $\phi = \phi_0$, and on the sides by $\theta = \theta_1$ and $\theta = \theta_2$ ($\theta_1 < \theta_2$) is

$$V = \frac{1}{3} \rho_0^3 (1 - \cos \phi_0) (\theta_2 - \theta_1)$$

[Hint: In cylindrical coordinates, the sphere has the equation $r^2 + z^2 = \rho_0^2$ and the cone has the equation $z = r \cot \phi_0$. For simplicity, consider only the case $0 < \phi_0 < \pi/2$.]

- (b) Subtract appropriate volumes and use the result in part (a) to deduce that the volume ΔV of the spherical wedge is

$$\Delta V = \frac{\rho_2^3 - \rho_1^3}{3} (\cos \phi_1 - \cos \phi_2) (\theta_2 - \theta_1)$$

- (c) Apply the Mean-Value Theorem to the functions $\cos \phi$ and ρ^3 to deduce that the formula in part (b) can be written as

$$\Delta V = \rho^* \sin \phi^* \Delta \rho \Delta \phi \Delta \theta$$

where ρ^* is between ρ_1 and ρ_2 , ϕ^* is between ϕ_1 and ϕ_2 , and $\Delta \rho = \rho_2 - \rho_1$, $\Delta \phi = \phi_2 - \phi_1$, $\Delta \theta = \theta_2 - \theta_1$.

31. **Writing** Suppose that a triple integral is expressed in cylindrical or spherical coordinates in such a way that the outermost variable of integration is θ and none of the limits of integration involves θ . Discuss what this says about the region of integration for the integral.

Good Luck !

Aj.NN ^_^!!!